

Instituto de Computação

UNIVERSIDADE ESTADUAL DE CAMPINAS

Introdução ao Processamento Digital de Imagem (MO443)

Professor: Hélio Pedrini

Relatório - Trabalho 2

Marcella de Sant' Ana

RA: 223588

29/09/2022

1. Introdução e Objetivos

A área de processamento de imagens envolve diversas técnicas com a finalidade de prover mais informações para o usuário visualizador, com muitas aplicações na área de Medicina, Biologia, Cartografia, entre outras.

Tendo em vista isso, o objetivo deste relatório é exibir discussões referentes à aplicação de algumas técnicas de limiarização, as quais transformam a imagem em sua forma binarizada, com o intuito de se aproximar da imagem original, do que a imagem original traz de informação, onde cada técnica possui seus parâmetros específicos que causam impacto no retorno da informação.

2. Materiais e Métodos

Os materiais utilizados para produzir as imagens com determinados processamentos são elencados a seguir:

- ❖ Python 3.9.0 - Software de programação

- Bibliotecas:

- opencv-python (cv2)
 - numpy
 - matplotlib.pyplot

- ❖ Visual Studio Code - Editor de código

- ❖ Imagens utilizadas: **baboon.pgm**, **sonnet.pgm** e **wedge.pgm**

Além disso, é apresentado abaixo, na Figura 1, como foram organizados os resultados relacionados a cada método, bem como se estruturou a execução para obtenção dos mesmos:

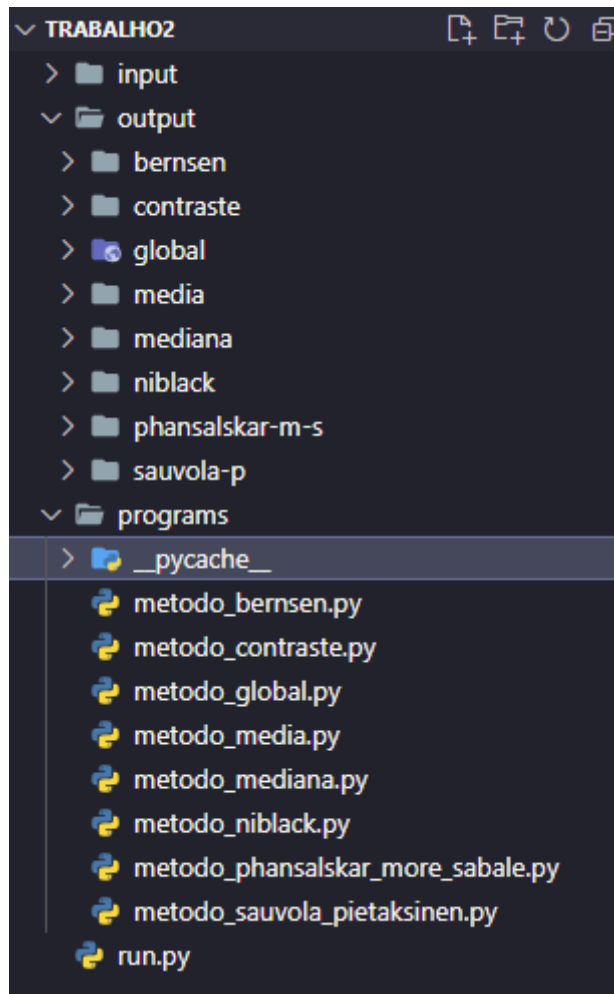


Figura 1 - Estrutura dos programas desenvolvidos

Seguindo o esquema de pasta da Figura 1, tem-se um conjunto de imagens a serem lidas, na pasta *input* (referente aos respectivos métodos). E, a obtenção das respostas referentes a cada método se dá pela execução do *script* “**run.py**”, ou seja, “**python run.py**”. Ao executá-lo, espera-se que sejam geradas imagens em formato “png” na pasta *output*, a qual está subdividida por método; as imagens serão armazenadas referente ao seu método correspondente. Por fim, a pasta *programs* contém a lógica desenvolvida para cada método proposto; o arquivo README.md contém as instruções para execução do *script* “**run.py**”, bem como o requirements.txt, os pacotes necessários.

3. Resultados e Discussões

Primeiramente, serão apresentados os histogramas quantizando os níveis de cinza para cada imagem de entrada:

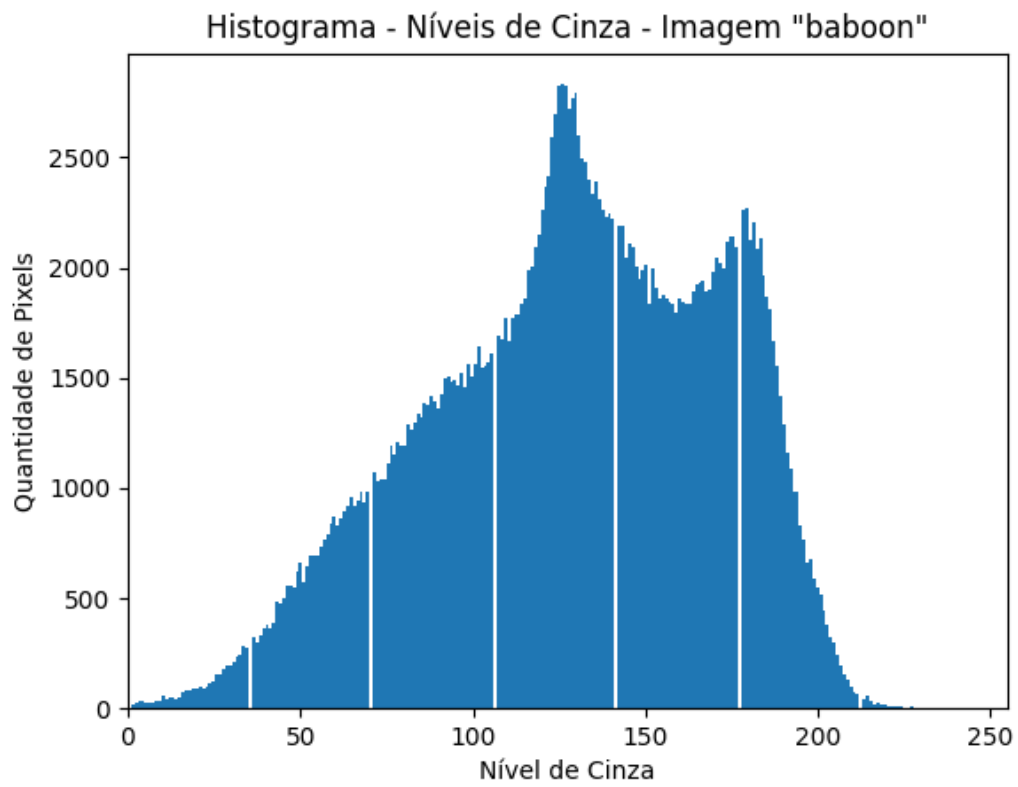


Figura 2 - Histograma de níveis de cinza para a imagem *baboon*

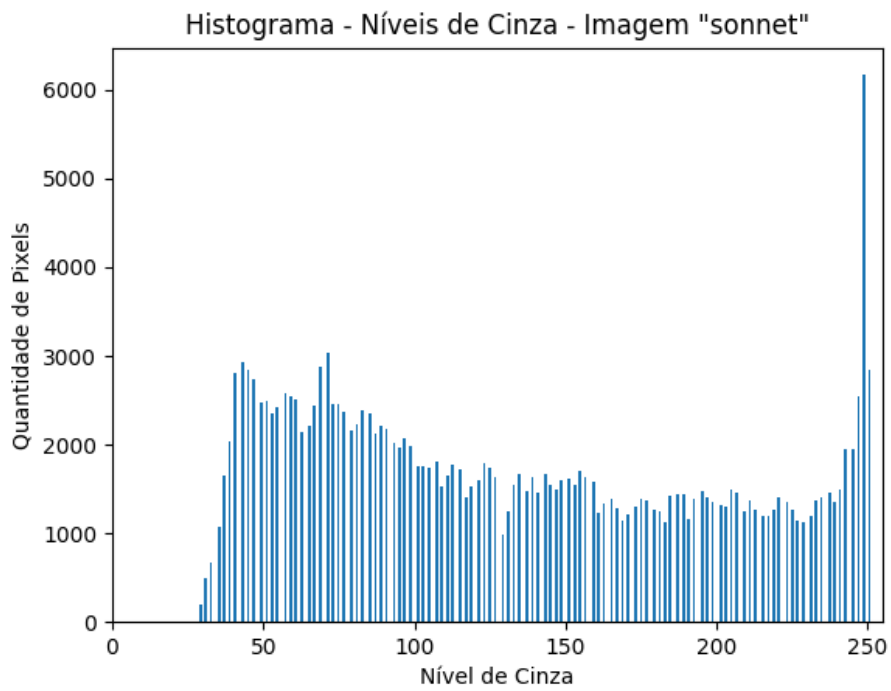


Figura 3 - Histograma de níveis de cinza para a imagem *baboon*

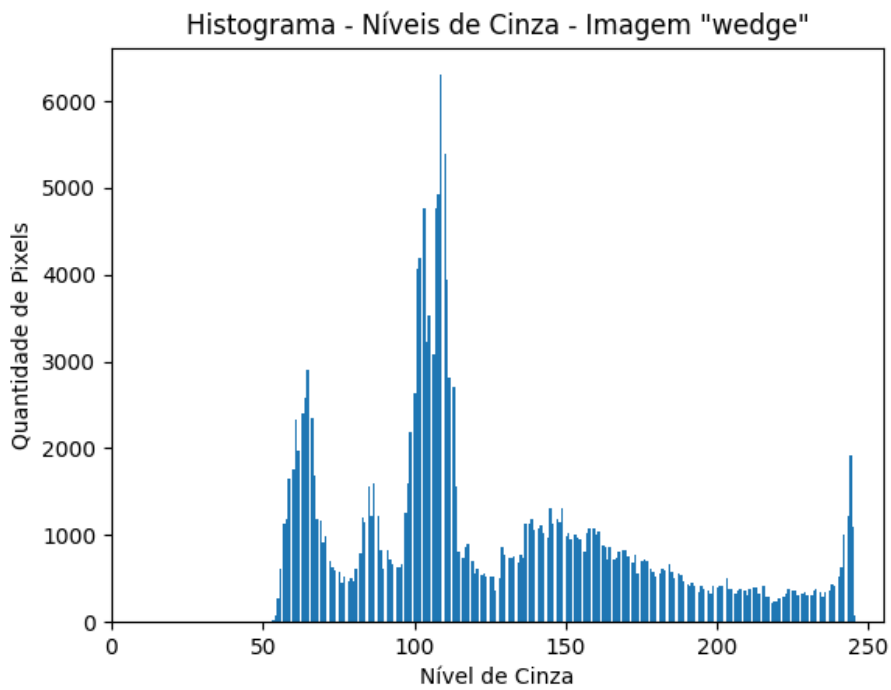


Figura 4 - Histograma de níveis de cinza para a imagem *baboon*

A seguir, serão demonstrados como cada método foi implementado acompanhado de seus respectivos resultados.

3.1 Método Global

Este método tinha como objetivo central considerar um limiar global e aplicar ele em cada pixel: se o valor de intensidade do um pixel fosse maior do que um limiar T , o pixel seria considerado como pertencente ao objeto (ou seja, o valor do pixel seria substituído por zero); caso contrário, seria considerado como fundo (ou seja, o valor do pixel seria substituído por 255). A seguir, é apresentado na Figura 5 como foi implementado cada um dos processamentos anteriores:

```
img = cv.imread(f'input/{image_name}.pgm', cv.IMREAD_GRAYSCALE)
cv.imwrite(f'output/{image_name}_original.png', np.array(img))
a = np.array(img)
a = a.astype(int)
rows = len(a)
columns = len(a[0])

limiar = T
expression = img > limiar if invert_background else img < limiar

img[expression] = 0
img[img > 0] = 255
```

Figura 5 - Implementação do Método Global

Primeiramente, é informado um valor de limiar T desejado (por exemplo, 100) e foi criada uma variável chamada *invert_background* pois em algumas imagens que foram testadas, fazia mais sentido o negativo do resultado obtido. Considerando que a princípio, não é preciso inverter a cor do fundo, caso o valor de um pixel (x, y) fosse menor que o limiar T , seria atribuído zero ao pixel e em seguida, os pixels restantes (maiores que zero) receberiam o valor de 255. Dadas as imagens citadas em “Materiais e Métodos”, optou-se por adotar que o que seria objeto o que fosse menor que o limiar T , para manter *invert_background=False* como padrão. Mas a título de teste, usou-se *invert_background=True* para a imagem **peppers.pgm** apenas no método global, com a finalidade de confirmar a funcionalidade dessa variável.



(a) original

(b) $T = 100$

(c) $T = 128$

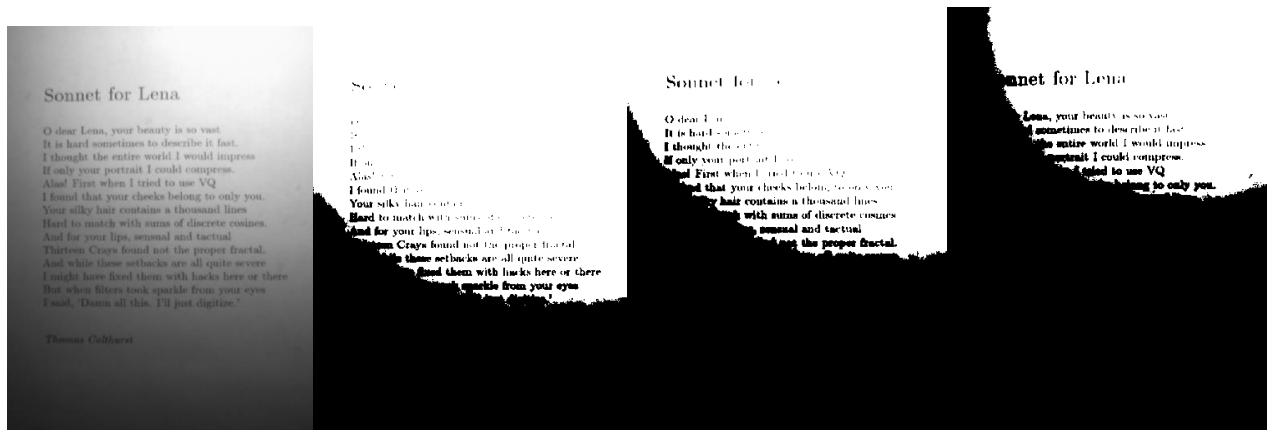
(d) $T = 175$

Figura 6 - Resultados obtidos para imagem *baboon* usando o Método Global.

Figura	Fração dos pixels pretos
b ($T = 100$)	0,24
c ($T = 128$)	0,46
d ($T = 175$)	0,83

Tabela 1 - Fração dos pixels pretos dos resultados para imagem *baboon*.

Em relação aos resultados da Figura 6 para a imagem *baboon*, notou-se que tal método se portou adequado uma vez que no limiar $T = 128$, a imagem resultante trouxe a informação de que havia babuíno reapresentado no arquivo de entrada. Porém, tendendo ao 255, há um grande escurecimento da mesma.



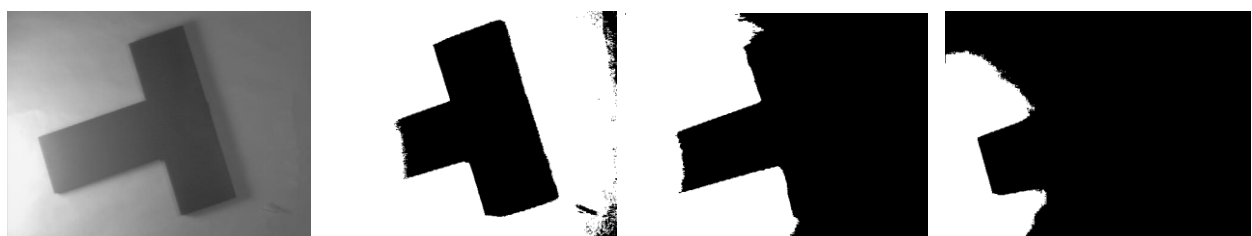
(a) original (b) $T = 100$ (c) $T = 128$ (d) $T = 175$

Figura 7 - Resultados obtidos para imagem *sonnet* usando o Método Global.

Figura	Fração dos pixels pretos
b ($T = 100$)	0,4
c ($T = 128$)	0,52
d ($T = 175$)	0,69

Tabela 2 - Fração dos pixels pretos dos resultados para imagem *sonnet*.

Em contrapartida, analisando os resultados da Figura 7 para a imagem *sonnet*, tal método não produziu bons resultados, pois o efeito de luminosidade teve grande impacto no ajuste do limiar T , que mesmo com valores mais baixos, não capturava o texto, e para valores altos, captou-se ruído.



(a) original (b) $T = 100$ (c) $T = 128$ (d) $T = 175$

Figura 8 - Resultados obtidos para imagem *wedge* usando o Método Global.

Novamente, para a imagem *wedge*, percebeu-se que tal método não produziu bons resultados, dado que também o efeito de luminosidade teve grande impacto no ajuste do limiar T , mas teve resultados mais satisfatórios que os resultados da imagem *sonnet*, visto que para $T = 100$, boa parte da informação foi transmitida (sólido de formato “T”).

Figura	Fração dos pixels pretos
b ($T = 100$)	0,26
c ($T = 128$)	0,60
d ($T = 175$)	0,82

Tabela 3 - Fração dos pixels pretos dos resultados para imagem *wedge*.



(a) original

(b) $T = 100$

(c) $T = 128$

(d) $T = 175$

Figura 9 - Resultados obtidos para imagem *peppers* usando o Método Global.

Figura	Fração dos pixels pretos
b ($T = 100$)	0,59
c ($T = 128$)	0,47
d ($T = 175$)	0,18

Tabela 4 - Fração dos pixels pretos dos resultados para imagem *peppers*.

Por fim, para a imagem *peppers* - colocada somente nos resultados do Método Global a finalidade de testar a flag de inverter o *background* - tal método produziu resultados semelhantes ao da imagem *wedge*: não tão satisfatórios, porém com $T = 100$, parte considerável da informação foi transmitida.

3.2 Método de Bernsen

Neste método, para cada pixel (x, y) , considera-se uma vizinhança $(n \times n)$ centrada em (x, y) , calculando o limiar como $(Z_{min} + Z_{max})/2$, onde Z_{min} e Z_{max} são os valores de níveis de cinza mínimo e máximo, respectivamente. Para ter um centro adequado, adotou-se números ímpares para n . A Figura 10 exhibe como foi desenvolvido esse método:

```

img = cv.imread(f'input/{image_name}.pgm', cv.IMREAD_GRAYSCALE)
a = np.array(img)
a = a.astype(int)

n = neighbours # número de vizinhos
padding_dimens = n // 2
a_padded = np.pad(a, [(padding_dimens, padding_dimens), (padding_dimens, padding_dimens)], mode='reflect')

rows = len(a)
columns = len(a[0])
center = padding_dimens

for i in range(rows):
    for j in range(columns):

        # i:i+n, j:j+n
        neighbour_matrix = a_padded[i:i+n, j:j+n]

        aux = neighbour_matrix[center,center]

        neighbour_matrix[center,center] = 0
        max_neighbour = neighbour_matrix.max()
        neighbour_matrix[center,center] = 255
        min_neighbour = neighbour_matrix.min()
        T_limiar = (min_neighbour + max_neighbour)/2

        neighbour_matrix[center,center] = aux
        expression = a[i,j] < T_limiar if invert_background else a[i,j] > T_limiar

        # i, j
        a[i,j] = 255 if expression else 0

```

Figura 10 - Implementação do Método de Bernsen

De acordo com a Figura 10, percebe-se que, inicialmente, foi adicionado uma borda, escolhida como tipo *reflect* (*padding* - *numpy.pad*) para atender ao formato da matriz de vizinhos ($n \times n$) sendo o seu centro cada pixel da imagem. Percorreu-se cada pixel, selecionando a matriz de vizinhança do pixel; para achar o valor máximo (*numpy.max*) sem considerar o centro (que é o pixel), atribuiu-se valor de zero ao centro - se o valor máximo fosse zero, então significa que todos os vizinhos seriam zero, ou seja, é uma manipulação para mascarar o valor do centro. Da mesma forma, para achar o valor mínimo (*numpy.min*), atribuiu-se valor de 255 ao centro, mascarando-o. Com os valores Z_{min} e Z_{max} , calculou-se o limiar dinâmico T . Vale ressaltar, que precisou-se recuperar o valor original do pixel central uma vez que não feito, alteraria a matriz com a borda adicionada. Dadas as imagens citadas em “Materiais e Métodos”, optou-se por adotar que o que seria objeto o que fosse maior que o limiar T , para manter *invert_background=False* como padrão.

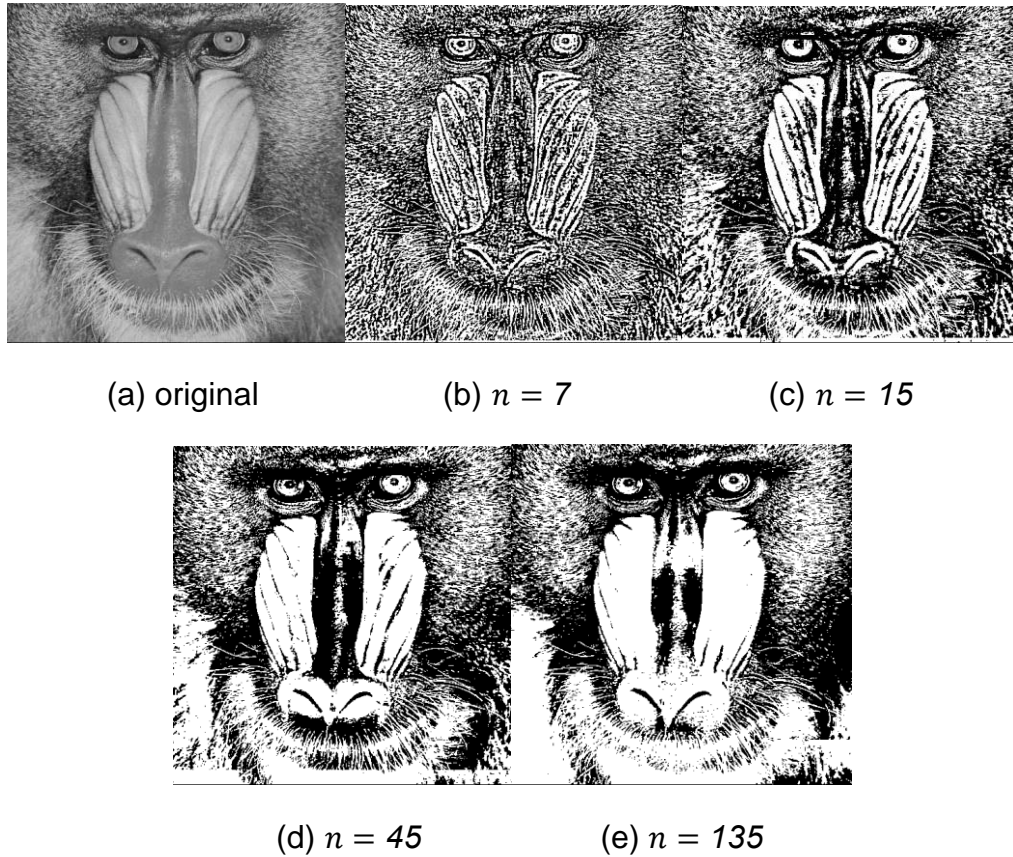
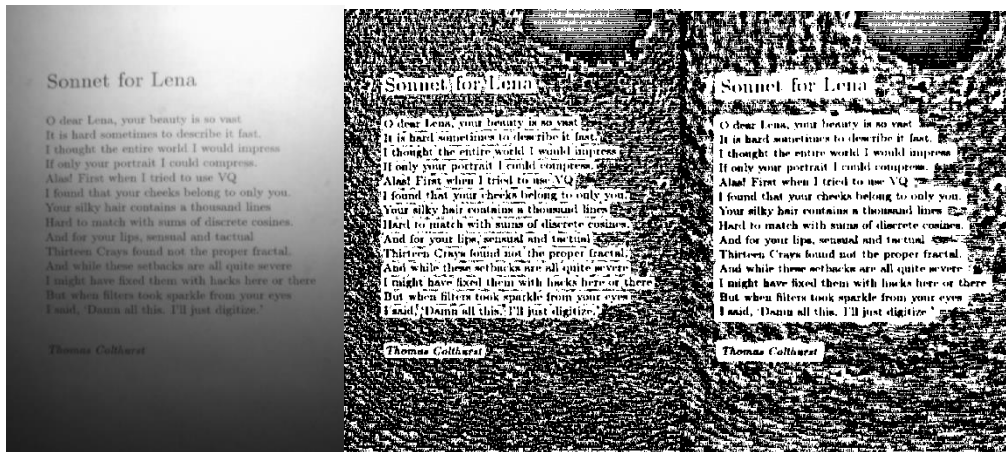


Figura 11 – Resultados obtidos para imagem *baboon* usando o Método de Bernsen.

Figura	Fração dos pixels pretos
b ($n = 7$)	0,51
c ($n = 15$)	0,5
d ($n = 45$)	0,45
e ($n = 135$)	0,4

Tabela 5 - Fração dos pixels pretos dos resultados para imagem *baboon*.

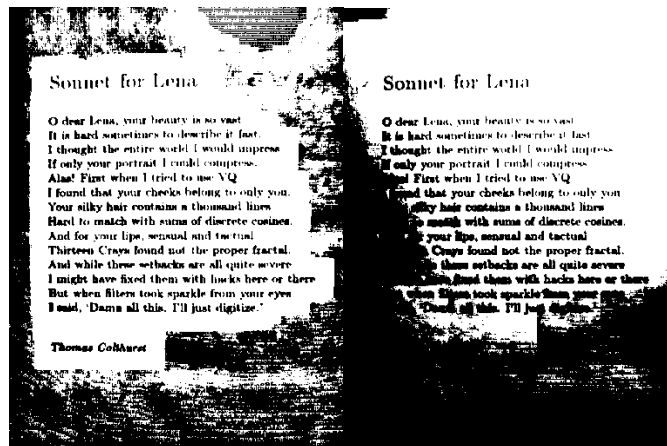
Em relação aos resultados para a imagem *baboon*, percebe-se que para vizinhos maiores, obteve-se um resultado melhor, mas é interessante ressaltar que, visualmente, o melhor deles foi com $n = 45$, ou seja, não necessitando aumentar deveras a quantidade de vizinhos para atingir bons resultados.



(a) original

(b) $n = 7$

(c) $n = 15$



(d) $n = 45$

(e) $n = 135$

Figura 12 - Resultados obtidos para imagem *sonnet* usando o Método de Bernsen.

Figura	Fração dos pixels pretos
b ($n = 7$)	0,52
c ($n = 15$)	0,45
d ($n = 45$)	0,37
e ($n = 135$)	0,46

Tabela 6 - Fração dos pixels pretos dos resultados para imagem *sonnet*.

Contudo, analisando os resultados da imagem *sonnet*, notou-se que se obteve resultados não muito satisfatórios, mesmo para vizinhos maiores que lidaram melhor com os ruídos de luminosidade. Embora não tendo um resultado satisfatório, com $n = 45$, toda a informação do texto foi capturada, sem ter ocultá-la.

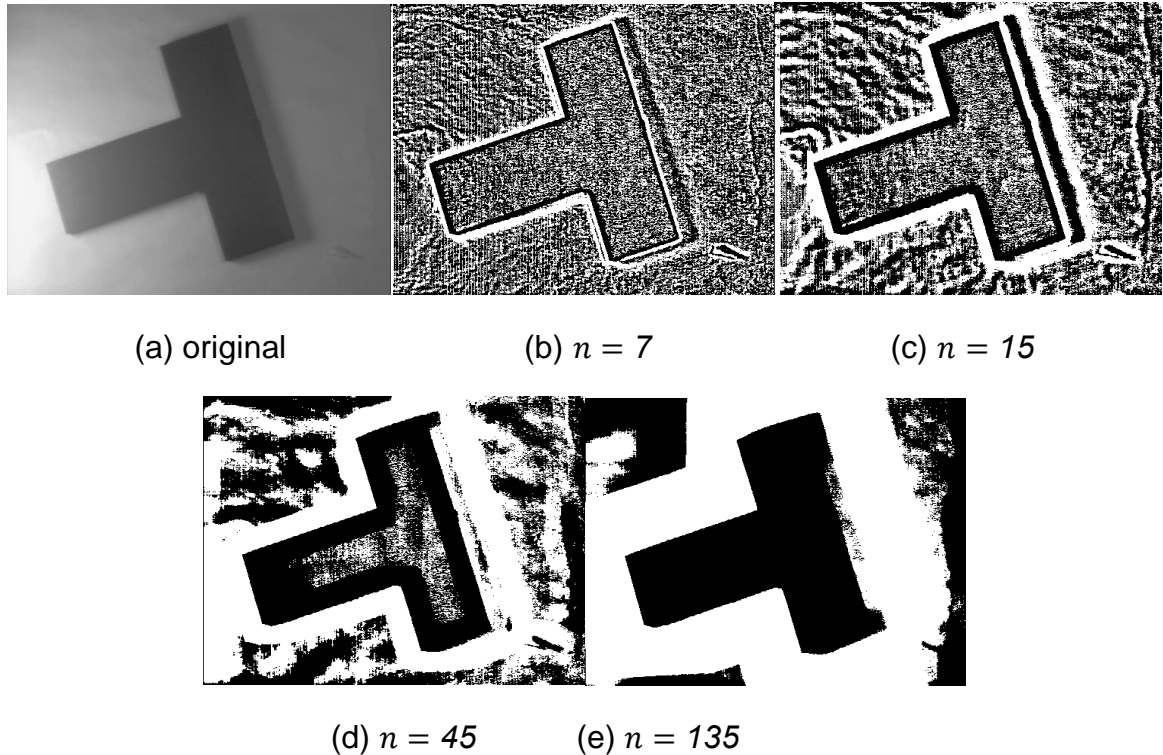


Figura 13 - Resultados obtidos para imagem *wedge* usando o Método de Bernsen.

Figura	Fração dos pixels pretos
b ($n = 7$)	0,57
c ($n = 15$)	0,53
d ($n = 45$)	0,49
e ($n = 135$)	0,43

Tabela 7 - Fração dos pixels pretos dos resultados para imagem *wedge*.

Por fim, para a imagem *wedge*, tal método produziu um resultado razoável para $n = 135$, porém ainda considerando parte do ruído da luminosidade produzindo sombra. Para os demais valores de n , era possível identificar o “T” por sua borda, porém o objeto não era evidenciado.

3.3 Método de Niblack

O objetivo principal deste método era, para cada pixel (x, y) , considerar-se uma vizinhança $(n \times n)$ centrada em (x, y) , calculando o limiar como $\mu(x, y) + k * \sigma(x, y)$, onde μ é a média entre os vizinhos e σ é o desvio padrão entre os mesmos; também, tem-se o parâmetro k , o qual é usado para ajustar a fração da borda do objeto a ser considerada como parte dele. Para ter um centro adequado, adotou-se números ímpares para n . A Figura 14 mostra como realizou-se tal método:

```
img = cv.imread(f'input/{image_name}.pgm', cv.IMREAD_GRAYSCALE)

a = np.array(img)
a = a.astype(int)

n = neighbours # número de vizinhos
k = k_value

padding_dimens = n // 2
a_padded = np.pad(a, [(padding_dimens, padding_dimens), (padding_dimens, padding_dimens)], mode='reflect')

rows = len(a)
columns = len(a[0])
center = padding_dimens

mask_center = np.ones(n*n).reshape(n,n)
mask_center[center, center] = 0
mask_center = mask_center.astype(bool)

for i in range(rows):
    for j in range(columns):

        # i:i+n, j:j+n
        neighbour_matrix = a_padded[i:i+n, j:j+n]

        neighbour_matrix_center_masked = neighbour_matrix[mask_center]
        neighbour_mean = np.mean(neighbour_matrix_center_masked)
        neighbour_standard_deviation = np.std(neighbour_matrix_center_masked)

        T_limiar = neighbour_mean + (k*neighbour_standard_deviation)
        expression = a[i,j] < T_limiar if invert_background else a[i,j] > T_limiar

        # i, j
        a[i,j] = 255 if expression else 0
```

Figura 14 - Implementação do Método de Niblack

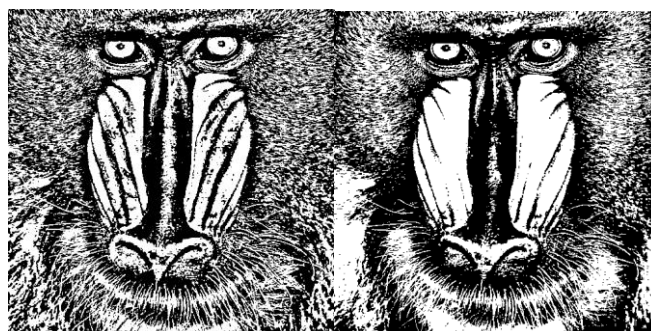
Para reproduzir tal método, foi necessário adicionar uma borda, escolhida como tipo *reflect* (*padding* - *numpy.pad*) para atender ao formato da matriz de vizinhos ($n \times n$) sendo o seu centro cada pixel da imagem. Além disso, criou-se uma máscara para não considerar o centro nos cálculos da média e desvio padrão. Em seguida, percorreu-se cada pixel, selecionando a matriz de vizinhança do pixel; para achar média (*numpy.mean*) e desvio padrão (*numpy.std*) sem considerar o centro, utilizou-se a máscara criada na matriz de vizinhança. Com tais valores, calculou-se a equação $\mu(x, y) + k * \sigma(x, y)$ para alguns k 's. Dadas as imagens citadas em "Materiais e Métodos", optou-se por adotar que o que seria objeto o que fosse maior que o limiar T , para manter *invert_background=False* como padrão.



(a) original

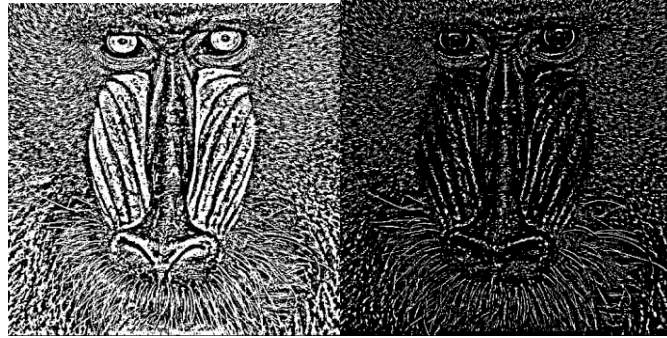
(b) $n = 7$

(c) $n = 15$



(d) $n = 45$

(e) $n = 135$



(f) $n = 15, k = 0.1$

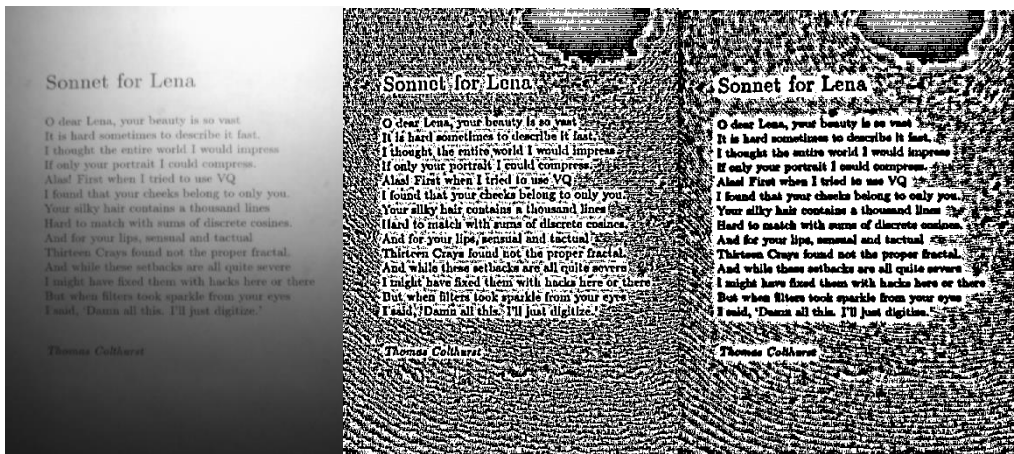
(g) $n = 15, k = 1$

Figura 15 - Resultados obtidos para imagem *baboon* usando o Método de Niblack.

Figura	Fração dos pixels pretos
b ($n = 7$)	0,54
c ($n = 15$)	0,53
d ($n = 45$)	0,52
e ($n = 135$)	0,52
f ($n = 15, k = 0.1$)	0,53
g ($n = 15, k = 1$)	0,86

Tabela 8 - Fração dos pixels pretos dos resultados para imagem *baboon*.

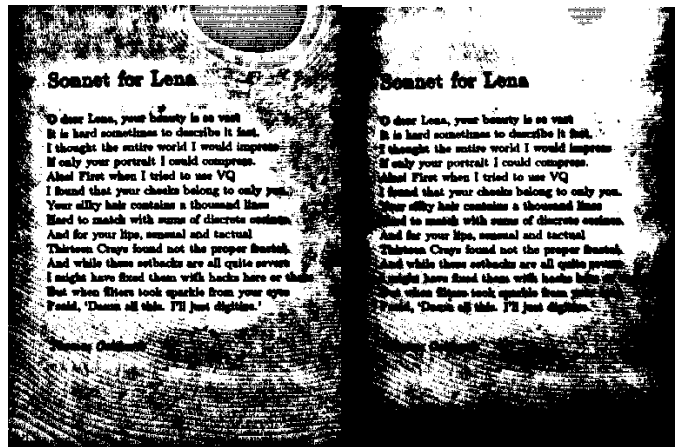
E, para a imagem *baboon*, percebe-se que os vizinhos maiores novamente retornaram um resultado melhor, e também que colocando $n = 45$, foi suficiente para transmitir a informação contida na imagem de entrada, aparecendo os traços característicos do animal. Vale comentar que este método permite a alteração do parâmetro k , o qual foi adotado como 0,1: nos testes realizados com a ordem decimal, teve-se melhores resultados como ilustra a Figura 15 (g) (ele causa grande impacto na informação a ser transmitida pela imagem - somente nesse caso alterou-se $k = 1$).



(a) original

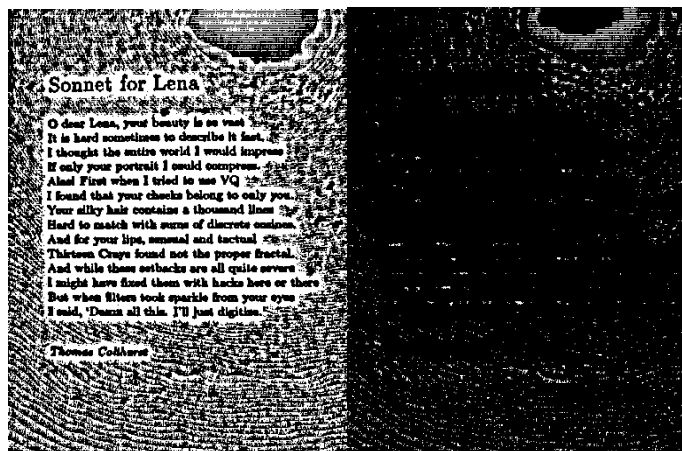
(b) $n = 7$

(c) $n = 15$



(d) $n = 45$

(e) $n = 135$



(f) $n = 15, k = 0.1$

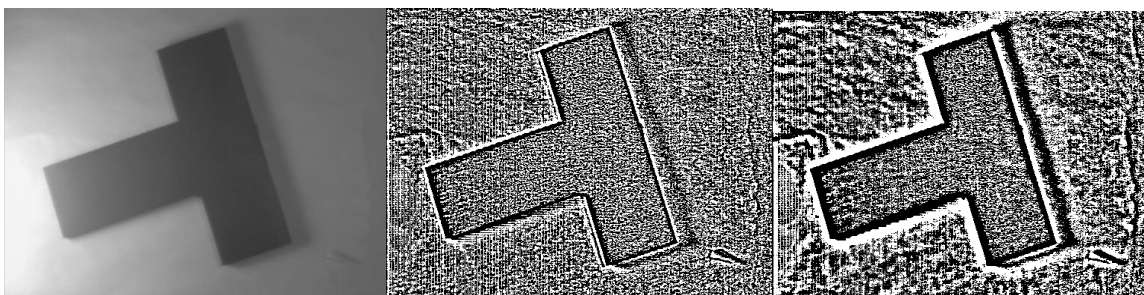
(g) $n = 15, k = 1$

Figura 16 - Resultados obtidos para imagem *sonnet* usando o Método de Niblack.

Figura	Fração dos pixels pretos
b ($n = 7$)	0,48
c ($n = 15$)	0,48
d ($n = 45$)	0,49
e ($n = 135$)	0,52
f ($n = 15, k = 0.1$)	0,48
g ($n = 15, k = 1$)	0,97

Tabela 9 - Fração dos pixels pretos dos resultados para imagem *sonnet*.

Entretanto, analisando os resultados da imagem *sonnet*, notou-se que obteve-se resultados não muito desejados, mesmo para vizinhos maiores que tentaram lidar melhor com os ruídos, mas ainda não de forma suficiente. Embora não tendo um resultado satisfatório, com $n = 45$, toda a informação do texto foi capturada. Também, vale ressaltar que adotou-se k como 0,1 para imagem *sonnet*, pois novamente nos testes realizados com a ordem decimal, teve-se melhores resultados como ilustra a Figura 16 (g) (somente nesse caso alterou-se $k = 1$).



(a) original

(b) $n = 7$

(c) $n = 15$

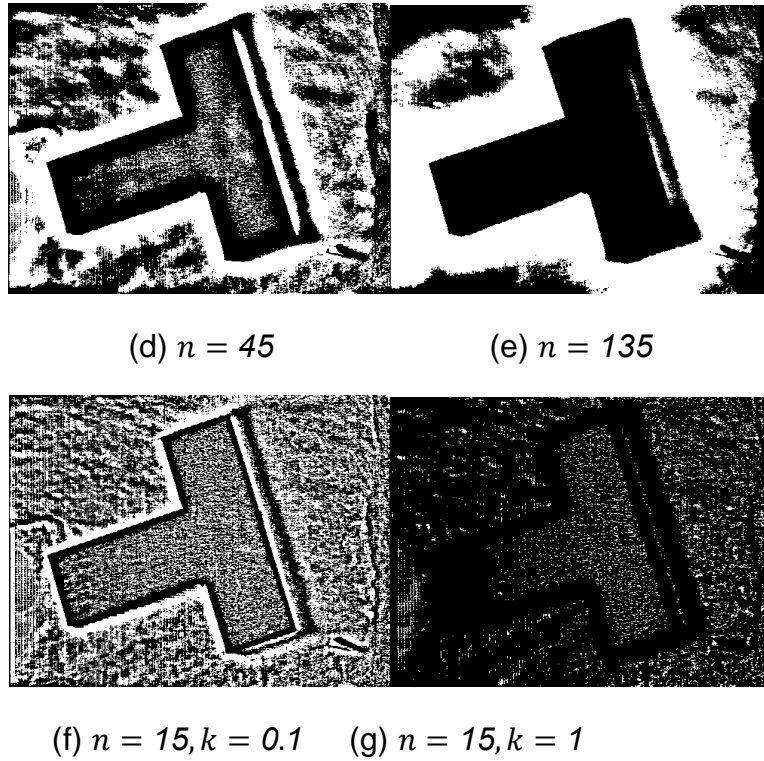


Figura 17 - Resultados obtidos para imagem *wedge* usando o Método de Niblack.

Figura	Fração dos pixels pretos
b ($n = 7$)	0,54
c ($n = 15$)	0,54
d ($n = 45$)	0,55
e ($n = 135$)	0,5
f ($n = 15, k = 0.1$)	0,54
g ($n = 15, k = 1$)	0,93

Tabela 10 - Fração dos pixels pretos dos resultados para imagem *wedge*.

Além disso, para a imagem *wedge*, notou-se que tal método produziu resultados mais adequados para vizinhos maiores e, nesse caso, com $n = 135$, mas ainda considerando parte do ruído. Por fim, destaca-se que se adotou k como 0,1 para tal imagem, pois novamente nos testes realizados com a ordem decimal, teve-se melhores resultados como ilustra a Figura 17 (g) (somente nesse caso alterou-se $k = 1$).

3.4 Método de Sauvola e Pietaksinen

Neste método, era necessário considerar-se uma vizinhança ($n \times n$) centrada em (x, y) para cada pixel (x, y) , calculando o limiar como $\mu(x, y) \left[1 + k * \left(\frac{\sigma(x, y)}{R} - 1 \right) \right]$, onde μ é a média entre os vizinhos e σ é o desvio padrão entre os mesmos; também, tem-se o parâmetro k que geralmente possui uma grandeza baixa (valor baixo) e R , que pode ser colocado com valores da ordem de dezena, centena. Para ter um centro adequado, adotou-se números ímpares para n . A seguir, é exibido pela Figura 18, a solução proposta para este método:

```
img = cv.imread(f'input/{image_name}.pgm', cv.IMREAD_GRAYSCALE)
a = np.array(img)
a = a.astype(int)

n = neighbours # número de vizinhos
k = k_value
R = R_value

padding_dimens = n // 2
a_padded = np.pad(a, [(padding_dimens, padding_dimens), (padding_dimens, padding_dimens)], mode='reflect')

rows = len(a)
columns = len(a[0])
center = padding_dimens

mask_center = np.ones(n*n).reshape(n,n)
mask_center[center, center] = 0
mask_center = mask_center.astype(bool)

for i in range(rows):
    for j in range(columns):

        # i:i+n, j:j+n
        neighbour_matrix = a_padded[i:i+n, j:j+n]

        neighbour_matrix_center_masked = neighbour_matrix[mask_center]
        neighbour_mean = np.mean(neighbour_matrix_center_masked)
        neighbour_standard_deviation = np.std(neighbour_matrix_center_masked)

        T_limiar = neighbour_mean * ( 1 + ( k * ( (neighbour_standard_deviation/R) - 1 ) ) )

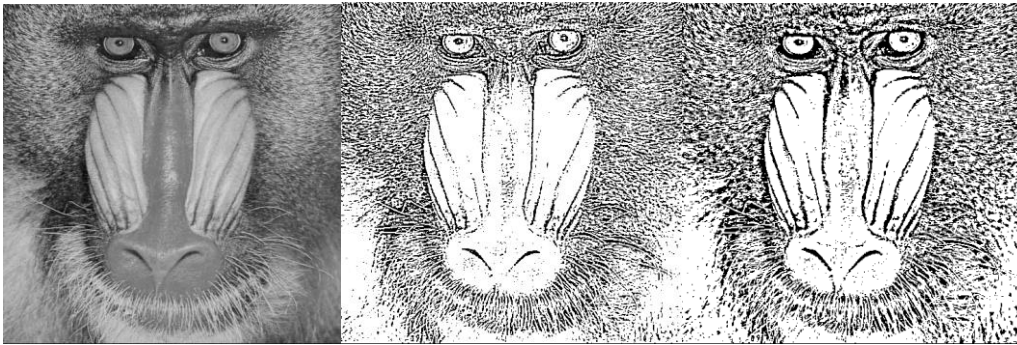
        expression = a[i,j] < T_limiar if invert_background else a[i,j] > T_limiar

        # i, j
        a[i,j] = 255 if expression else 0
```

Figura 18 - Implementação do Método de Sauvola e Pietaksinen

Primeiramente, adicionou-se uma borda, escolhida como tipo *reflect* (*padding* - *numpy.pad*) para atender ao formato da matriz de vizinhos ($n \times n$)

sendo o seu centro cada pixel da imagem. Além disso, criou-se uma máscara para não considerar o centro nos cálculos da média e desvio padrão. Em seguida, percorreu-se cada pixel, selecionando a matriz de vizinhança do pixel; para achar média (numpy.mean) e desvio padrão (numpy.std) sem considerar o centro, utilizou-se a máscara criada na matriz de vizinhança. Com tais valores, calculou-se a equação $\mu(x, y) \left[1 + k * \left(\frac{\sigma(x, y)}{R} - 1 \right) \right]$ para alguns k 's e R 's. Dadas as imagens citadas em "Materiais e Métodos", optou-se por adotar que o que seria objeto o que fosse maior que o limiar T , para manter *invert_background=False* como padrão.



(a) original

(b) $n = 7$

(c) $n = 15$



(d) $n = 45$

(e) $n = 135$



(f) $k = 0.1, R = 90$

(g) $k = 0.1, R = 180$

(h) $k = 1, R = 90$

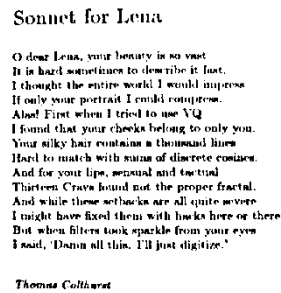
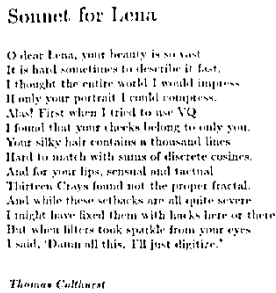
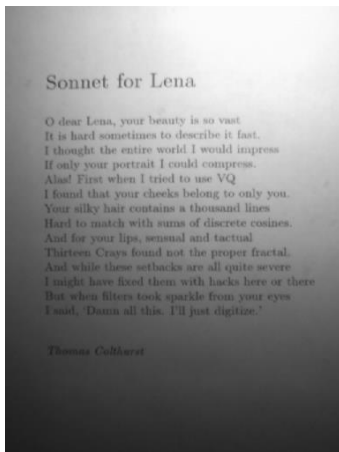
Figura 19 - Resultados obtidos para imagem *baboon* usando o Método de Sauvola e Pietaksinen.

Figura	Fração dos pixels pretos
b ($n = 7$)	0,27
c ($n = 15$)	0,3
d ($n = 45$)	0,34
e ($n = 135$)	0,4
f ($n = 135, k = 0.1, R = 90$)	0,4
g ($n = 135, k = 0.1, R = 180$)	0,37
h ($n = 135, k = 1, R = 90$)	0,05

Tabela 11 - Fração dos pixels pretos dos resultados para imagem *baboon*.

Em relação aos resultados obtidos para a imagem *baboon*, percebe-se que os vizinhos maiores novamente retornaram um resultado melhor, e também que colocando $n = 45$; mas é pertinente comentar que já para um $n = 15$ tem-se uma versão melhor definida comparada aos 3 métodos apresentados anteriormente.

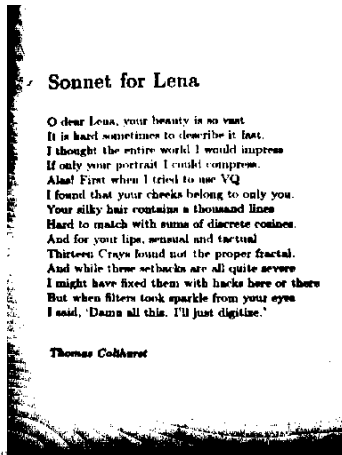
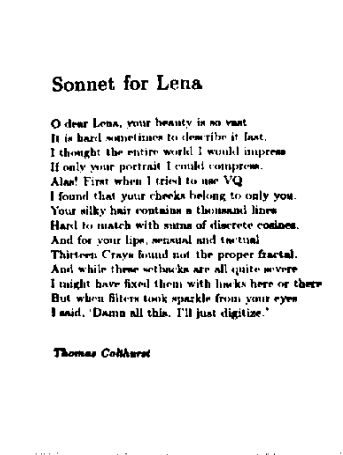
Vale comentar que este método permite a alteração do parâmetro k e R , os quais foram adotados como 0,1 e 90, respectivamente. Nos testes realizados, para k a ordem decimal se manteve como a mais adequada, como ilustra a Figura 19 (h); ao passo que, R não exibiu grandes diferenças mesmo dobrando seu valor, como as imagens Figuras 19 (f) e (g) mostram.



(a) original

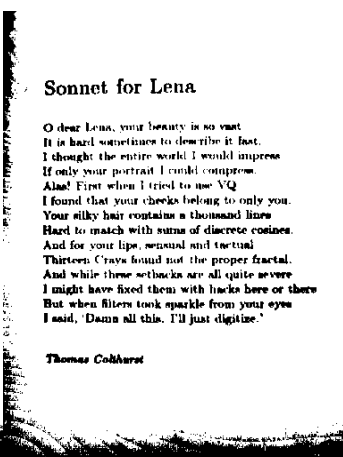
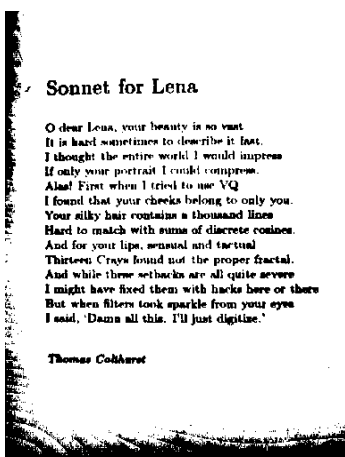
(b) $n = 7$

(c) $n = 15$



(d) $n = 45$

(e) $n = 135$



(f) $k = 0.1, R = 90$

(g) $k = 0.1, R = 180$

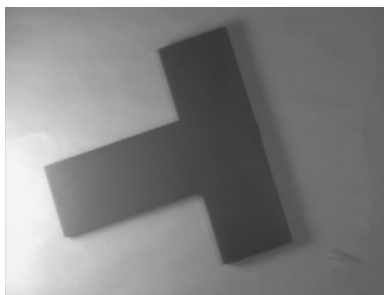
(h) $k = 1, R = 90$

Figura 20 - Resultados obtidos para imagem *sonnet* usando o Método de Sauvola e Pietaksinen.

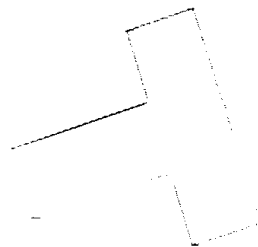
Figura	Fração dos pixels pretos
b ($n = 7$)	0,04
c ($n = 15$)	0,06
d ($n = 45$)	0,07
e ($n = 135$)	0,15
f ($n = 135, k = 0.1, R = 90$)	0,15
g ($n = 135, k = 0.1, R = 180$)	0,12
h ($n = 135, k = 1, R = 90$)	0,0

Tabela 12 - Fração dos pixels pretos dos resultados para imagem *sonnet*.

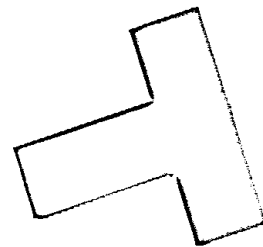
Além disso, analisando os resultados da imagem *sonnet*, obteve-se resultados satisfatórios desta vez, pois o ruído foi tratado adequadamente já para vizinhos pequenos, ou seja, não necessitando de grandes processamentos para atingir um resultado plausível (para $n = 7$, desconsiderou-se bem o ruído). Vale comentar que este método permite a alteração do parâmetro k e R , os quais foram adotados como 0,1 e 90, respectivamente. Nos testes realizados para essa imagem, k de ordem decimal se manteve como a mais adequado, como ilustra a Figura 20 (h) onde o resultado produzido foi inteiramente 255; paralelamente, R não exibiu grandes diferenças mesmo dobrando seu valor, como as imagens Figuras 20 (f) e (g) mostram.



(a) original



(b) $n = 7$



(c) $n = 15$

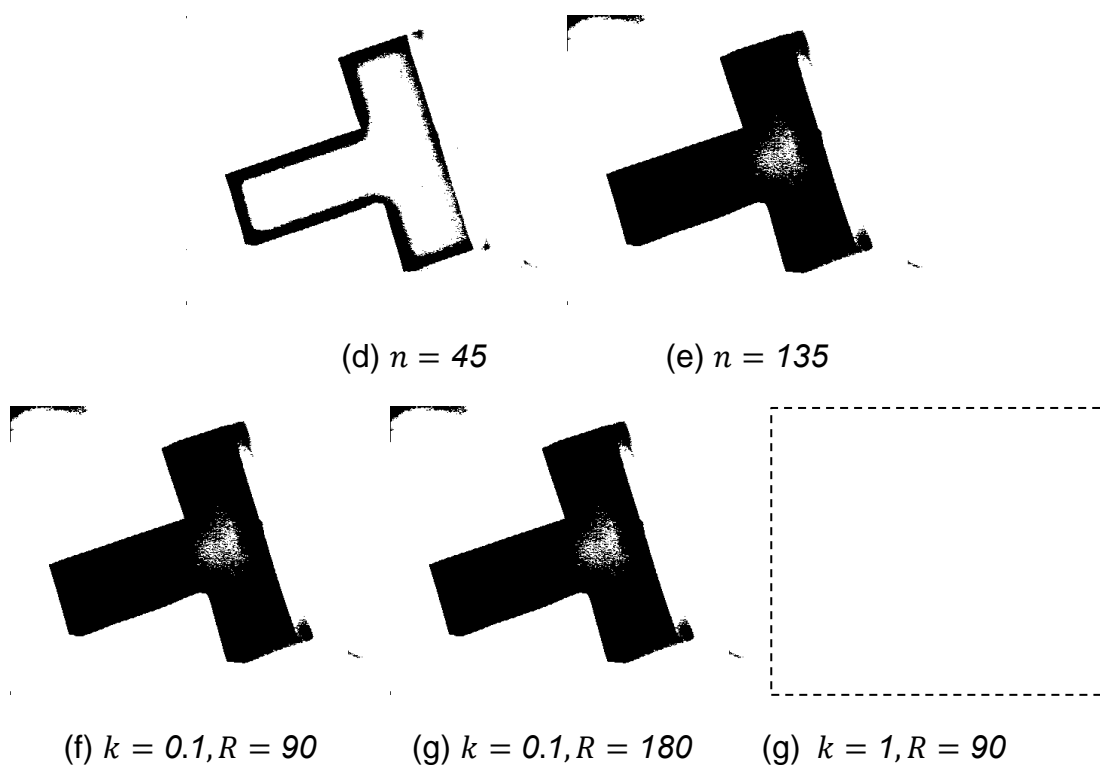


Figura 21 - Resultados obtidos para imagem *wedge* usando o Método de Sauvola e Pietaksinen.

Figura	Fração dos pixels pretos
b ($n = 7$)	0,003
c ($n = 15$)	0,02
d ($n = 45$)	0,082
e ($n = 135$)	0,25
f ($n = 135, k = 0.1, R = 90$)	0,25
g ($n = 135, k = 0.1, R = 180$)	0,23
h ($n = 135, k = 1, R = 90$)	0,0

Tabela 13 - Fração dos pixels pretos dos resultados para imagem *wedge*.

Por fim, para a imagem *wedge*, notou-se que tal método produziu resultados mais adequados para vizinhos maiores e, nesse caso, com $n = 135$,

mas ainda considerando parte do ruído, similar ao Niblack. Ademais, vale ressaltar que adotou-se os parâmetros k e R como 0,1 e 90, respectivamente. Nos testes realizados para essa imagem, k de ordem decimal se manteve como a mais adequado, como ilustra a Figura 21 (h) - resultado inteiramente 255; paralelamente, R não exibiu grandes diferenças mesmo dobrando seu valor, como é exibido pelas Figuras 21 (f) e (g).

3.5 Método de Phansalskar, More e Sabale

O objetivo deste método era considerar uma vizinhança ($n \times n$) centrada em (x, y) , calculando o limiar como $\mu(x, y) \left[1 + p * e^{(-q * \mu(x, y))} + k * \left(\frac{\sigma(x, y)}{R} - 1 \right) \right]$, onde μ é a média entre os vizinhos e σ é o desvio padrão entre os mesmos; também, tem-se o parâmetro k que geralmente possui uma grandeza baixa (valor baixo) e R , que pode ser colocado com valores da ordem de dezena, centena. Além disso, o parâmetro p não possui grande dimensão bem como q (unidade, dezena) e como foi sugerido pelos autores $p = 2$ e $q = 10$, nota-se que geralmente $q > p$. Para ter um centro adequado, adotou-se números ímpares para n . Na Figura 22, mostra-se como reproduziu-se tal método:

```

img = cv.imread(f'input/{image_name}.pgm', cv.IMREAD_GRAYSCALE)
a = np.array(img)
a = a.astype(int)

n = neighbours # número de vizinhos
k = k_value
R = R_value
p = p_value
q = q_value

padding_dimens = n // 2
a_padded = np.pad(a, [(padding_dimens, padding_dimens), (padding_dimens, padding_dimens)], mode='reflect')

rows = len(a)
collumns = len(a[0])
center = padding_dimens

mask_center = np.ones(n*n).reshape(n,n)
mask_center[center, center] = 0
mask_center = mask_center.astype(bool)

for i in range(rows):
    for j in range(collumns):
        # i:i+n, j:j+n
        neighbour_matrix = a_padded[i:i+n, j:j+n]

        neighbour_matrix_center_masked = neighbour_matrix[mask_center]
        neighbour_mean = np.mean(neighbour_matrix_center_masked)
        neighbour_standard_deviation = np.std(neighbour_matrix_center_masked)

        T_limiar = neighbour_mean * (1 + (p * (math.exp((-q)*neighbour_mean))) + ( k * ( (neighbour_standard_deviation/R) - 1 ) ) )

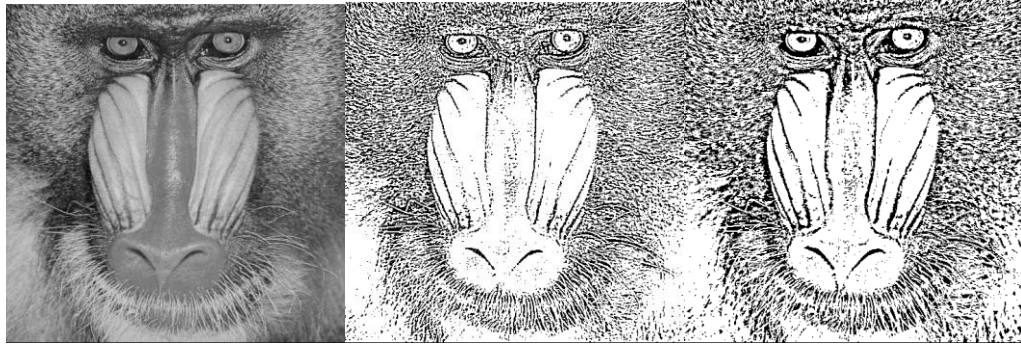
        expression = a[i,j] < T_limiar if invert_background else a[i,j] > T_limiar

        # i, j
        a[i,j] = 255 if expression else 0

```

Figura 22 - Implementação do Método de Phansalskar, More e Sabale.

Inicialmente, adicionou-se uma borda, escolhida como tipo *reflect* (*padding* - `numpy.pad`) para atender ao formato da matriz de vizinhos ($n \times n$) sendo o seu centro cada pixel da imagem. Além disso, criou-se uma máscara para não considerar o centro nos cálculos da média e desvio padrão. Em seguida, percorreu-se cada pixel, selecionando a matriz de vizinhança do pixel; para achar média (`numpy.mean`) e desvio padrão (`numpy.std`) sem considerar o centro, utilizou-se a máscara criada na matriz de vizinhança. Com tais valores, calculou-se a equação $\mu(x,y) \left[1 + p * e^{(-q*\mu(x,y))} + k * \left(\frac{\sigma(x,y)}{R} - 1 \right) \right]$ para alguns k 's e R 's. Também, alguns valores para p e q foram utilizados, porém como não apresentaram muitas alterações adotou-se nos resultados o que foi sugerido pelos autores do método ($p = 2, q = 10$). Dadas as imagens citadas em “Materiais e Métodos”, optou-se por adotar que o que seria objeto o que fosse maior que o limiar T , para manter *invert_background=False* como padrão.



(a) original

(b) $n = 7$

(c) $n = 15$



(d) $n = 45$

(e) $n = 135$



(f) $k = 0.1, R = 90$ (g) $k = 0.1, R = 180$ (h) $k = 0.7, R = 90$ (i) $k = 0.7, R = 180$

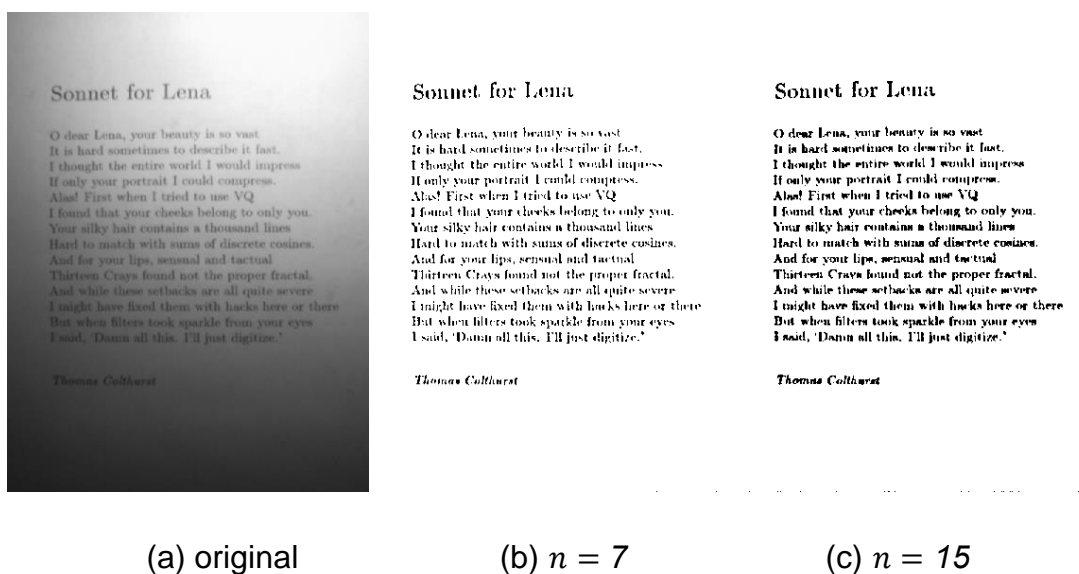
Figura 23 - Resultados obtidos para imagem *baboon* usando o Método de Phansalskar, More e Sabale.

Em relação aos resultados obtidos para a imagem *baboon*, percebe-se que os vizinhos maiores novamente retornaram um resultado melhor, e também que colocando $n = 45$; mas é pertinente comentar que já para um $n = 15$ tem-se uma versão razoável, similar ao em Sauvola e Pietaksinen.

E, destaca-se que este método permite a alteração do parâmetro k e R , os mesmos foram adotados como 0,1 e 90, respectivamente. Também é possível alterar p e q , os quais foram mantidos em 2 e 10 (sugestão dos autores). Porém, foi feito um teste simples na imagem *wedge* e será discutido brevemente sobre eles. Nos testes realizados, a ordem decimal para k se manteve como a mais adequada, como ilustra a Figura 23 (h) e (i), onde já se perdeu um pouco da imagem com $k = 0.7$; ao passo que, R não exibiu grandes diferenças mesmo dobrando seu valor, como as imagens Figuras 23 (f) e (g) mostram. É interessante pontuar que mesmo R não tendo grandes impactos para imagens com mais pixels zero, quando observa-se as Figuras 23 (h) e (i), percebe-se um ligeiro clareamento.

Figura	Fração dos pixels pretos
b ($n = 7$)	0,27
c ($n = 15$)	0,3
d ($n = 45$)	0,34
e ($n = 135$)	0,4

Tabela 14 - Fração dos pixels pretos dos resultados para imagem *baboon*.



Sonnet for Lena

O dear Lena, your beauty is so vast
It is hard sometimes to describe it fast.
I thought the entire world I would impress
If only your portrait I could compress.
Alas! First when I tried to use VQ
I found that your cheeks belong to only you.
Your silky hair contains a thousand lines
Hard to match with sums of discrete cosines.
And for your lips, sensual and tactual
Thirteen Crays found not the proper fractal.
And while these setbacks are all quite severe
I might have fixed them with hacks here or there
But when filters took sparkle from your eyes
I said, 'Damn all this. I'll just digitize.'

Thomas Colthart

Sonnet for Lena

O dear Lena, your beauty is so vast
It is hard sometimes to describe it fast.
I thought the entire world I would impress
If only your portrait I could compress.
Alas! First when I tried to use VQ
I found that your cheeks belong to only you.
Your silky hair contains a thousand lines
Hard to match with sums of discrete cosines.
And for your lips, sensual and tactual
Thirteen Crays found not the proper fractal.
And while these setbacks are all quite severe
I might have fixed them with hacks here or there
But when filters took sparkle from your eyes
I said, 'Damn all this. I'll just digitize.'

Thomas Colthart

(c) $n = 45$

(d) $n = 135$

Sonnet for Lena

O dear Lena, your beauty is so vast
It is hard sometimes to describe it fast.
I thought the entire world I would impress
If only your portrait I could compress.
Alas! First when I tried to use VQ
I found that your cheeks belong to only you.
Your silky hair contains a thousand lines
Hard to match with sums of discrete cosines.
And for your lips, sensual and tactual
Thirteen Crays found not the proper fractal.
And while these setbacks are all quite severe
I might have fixed them with hacks here or there
But when filters took sparkle from your eyes
I said, 'Damn all this. I'll just digitize.'

Thomas Colthart

Sonnet for Lena

O dear Lena, your beauty is so vast
It is hard sometimes to describe it fast.
I thought the entire world I would impress
If only your portrait I could compress.
Alas! First when I tried to use VQ
I found that your cheeks belong to only you.
Your silky hair contains a thousand lines
Hard to match with sums of discrete cosines.
And for your lips, sensual and tactual
Thirteen Crays found not the proper fractal.
And while these setbacks are all quite severe
I might have fixed them with hacks here or there
But when filters took sparkle from your eyes
I said, 'Damn all this. I'll just digitize.'

Thomas Colthart

(e) $k = 0.1, R = 90$

(f) $k = 0.1, R = 180$

(g) $k = 0.7, R = 90$

Figura 24 - Resultados obtidos para imagem *sonnet* usando o Método de Phansalskar, More e Sabale.

Além disso, analisando os resultados da imagem *sonnet*, obteve-se resultados satisfatórios, uma vez que o ruído foi tratado adequadamente já para vizinhos pequenos e, por consequência, não necessitando de grandes processamentos (alto número de vizinhos) para atingir um resultado plausível (para $n = 7$, desconsiderou-se bem o ruído). Também, ressalta-se que este método permite a alteração do parâmetro k e R , os mesmos foram adotados

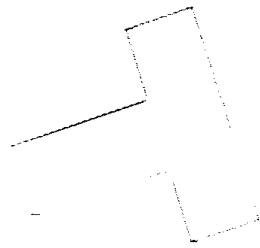
como 0,1 e 90, respectivamente. Também é possível alterar p e q , os quais foram mantidos em 2 e 10 (sugestão dos autores). Nos testes realizados para essa imagem, k de ordem decimal se manteve como a mais adequado, como ilustra a Figura 24 (g) onde o resultado produzido foi inteiramente 255 com um valor k próximo a 1; paralelamente, R não exibiu grandes diferenças mesmo dobrando seu valor, como as imagens Figuras 24 (f) e (g) mostram.

Figura	Fração dos pixels pretos
b ($n = 7$)	0,04
c ($n = 15$)	0,06
d ($n = 45$)	0,07
e ($n = 135$)	0,15

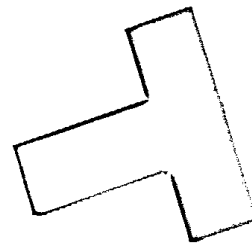
Tabela 15 - Fração dos pixels pretos dos resultados para imagem *sonnet*.



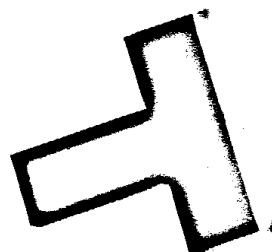
(a) original



(b) $n = 7$



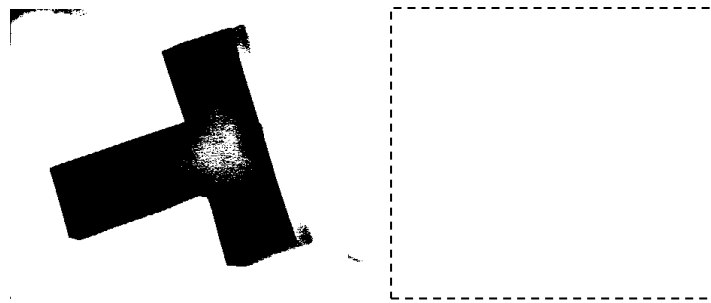
(c) $n = 15$



(c) $n = 45$



(d) $n = 135$



(e) $n = 135, k = 0.1$

(f) $n = 135, k = 0.7$



(g) $p = 1, q = 5$ (h) $p = 2, q = 10$

Figura 25 - Resultados obtidos para imagem *wedge* usando o Método de Phansalskar, More e Sabale.

Figura	Fração dos pixels pretos
b ($n = 7$)	0,003
c ($n = 15$)	0,02
d ($n = 45$)	0,082
e ($n = 135, k = 0.1$)	0,25
f ($n = 135, k = 0.7$)	0
g ($p = 1, q = 5$)	0,24
h ($n = 135, R = 90, k = 0.1, p = 2, q = 10$)	0,24

Tabela 16 - Fração dos pixels pretos dos resultados para imagem *wedge*.

Por fim, para a imagem *wedge*, notou-se que tal método produziu resultados mais adequados para vizinhos maiores e, nesse caso, com $n = 135$, mas ainda considerando parte do ruído. Além disso, vale ressaltar que adotou-se os parâmetros k e R como 0,1 e 90, respectivamente. Nos testes realizados para essa imagem, k de ordem decimal se manteve como a mais adequado, como ilustra a Figura 25 (f) - resultado inteiramente 255 com valor de k próximo a 1; paralelamente, alterou-se os parâmetros de p e q , dobrando-os: inicialmente, não foram notadas grandes alterações - Figuras 25 (g) e (h) -, provavelmente causando mais impacto para valores bem maiores.

3.6 Método do Contraste

Neste método, para cada pixel (x, y) , considera-se uma vizinhança $(n \times n)$ centrada em (x, y) , calculando o limiar conforme o pixel esteja mais próximo do Z_{min} ou Z_{max} , onde Z_{min} e Z_{max} são os valores de níveis de cinza mínimo e máximo, respectivamente. Para ter um centro adequado, adotou-se números ímpares para n . A Figura 26 ilustra o desenvolvimento do método:

```

img = cv.imread(f'input/{image_name}.pgm', cv.IMREAD_GRAYSCALE)
a = np.array(img)

a = a.astype(int)
n = neighbours # número de vizinhos
padding_dimens = n // 2

a_padded = np.pad(a, [(padding_dimens, padding_dimens), (padding_dimens, padding_dimens)], mode='reflect')

rows = len(a)
columns = len(a[0])
center = padding_dimens

mask_center = np.ones(n*n).reshape(n,n)
mask_center[center, center] = 0
mask_center = mask_center.astype(bool)

for i in range(rows):
    for j in range(columns):

        # i:i+n, j:j+n
        neighbor_matrix = a_padded[i:i+n, j:j+n]

        aux = neighbor_matrix[center,center]

        neighbor_matrix[center,center] = 0
        max_neighbor = neighbor_matrix.max()
        neighbor_matrix[center,center] = 255
        min_neighbor = neighbor_matrix.min()

        neighbor_matrix[center,center] = aux

        distanceToMax = abs(max_neighbor - aux)
        distanceToMin = abs(aux - min_neighbor)

        expression = distanceToMax < distanceToMin if invert_background else distanceToMax > distanceToMin

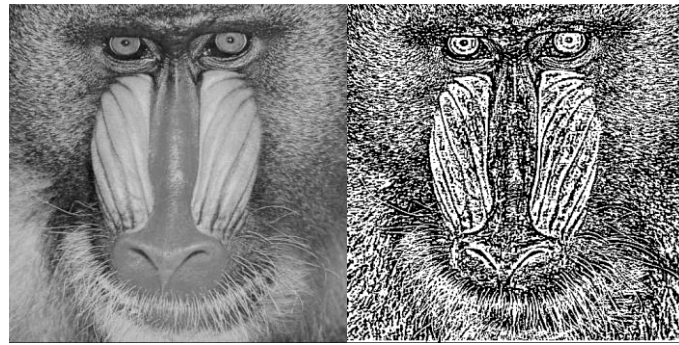
        # i, j
        a[i,j] = 0 if expression else 255

```

Figura 26 - Implementação do Contraste

Como é apresentado pela Figura 26, inseriu-se uma borda, escolhida como tipo *reflect* (*padding* - *numpy.pad*) para atender ao formato da matriz de vizinhos ($n \times n$) sendo o seu centro cada pixel da imagem. Percorreu-se cada pixel, selecionando a matriz de vizinhança do pixel; para achar o valor máximo (*numpy.max*) sem considerar o centro (que é o pixel), atribuiu-se valor de zero ao centro (como no método de Bernsen). Da mesma forma, para achar o valor mínimo (*numpy.min*), atribuiu-se valor de 255 ao centro, mascarando-o. Com os valores Z_{min} e Z_{max} , definiu-se que se o pixel estivesse mais próximo do mínimo, ele receberia o valor de zero, caso contrário (mais próximo do máximo) receberia 255 - isso considerando que *invert_background=False*. Vale ressaltar, que

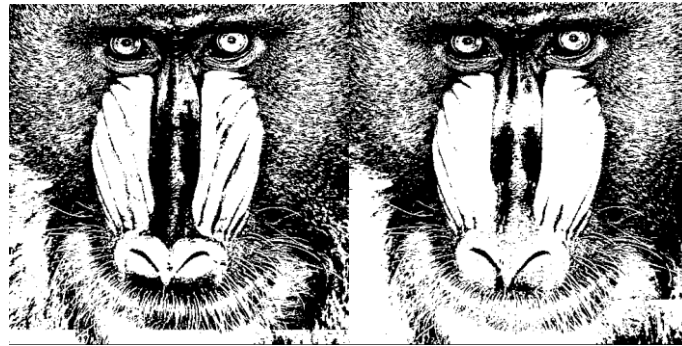
precisou-se recuperar o valor original do pixel central uma vez que não feito, alteraria a matriz com a borda adicionada.



(a) original

(b) $n = 7$

(c) $n = 15$



(d) $n = 45$

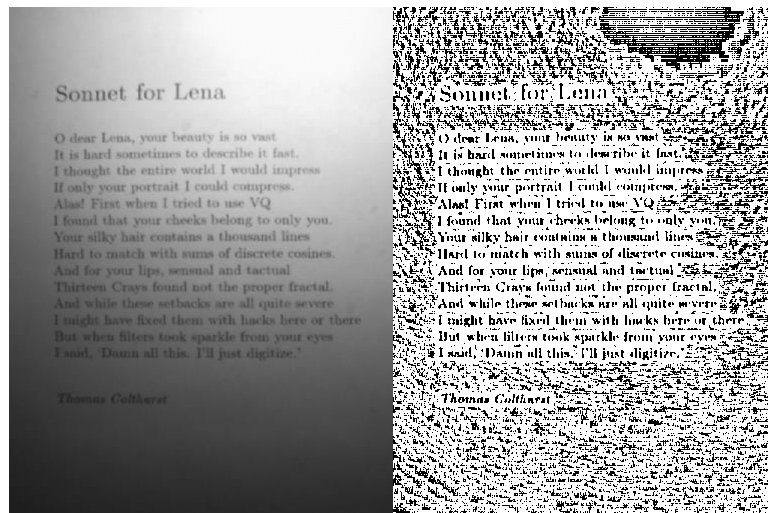
(e) $n = 135$

Figura 27 - Resultados obtidos para imagem *baboon* usando o Método do Contraste.

Figura	Fração dos pixels pretos
b ($n = 7$)	0,5
c ($n = 15$)	0,5
d ($n = 45$)	0,45
e ($n = 135$)	0,39

Tabela 17 - Fração dos pixels pretos dos resultados para imagem *baboon*.

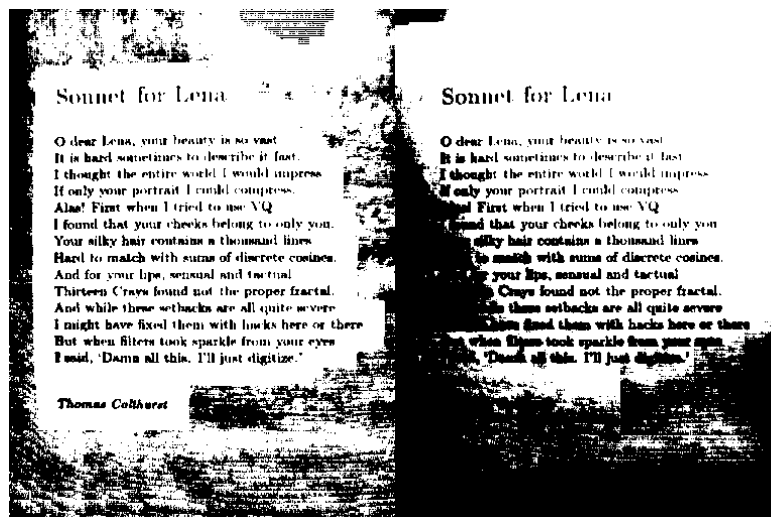
Sobre resultados para a imagem *baboon*, percebe-se que para vizinhos maiores, obteve-se um resultado melhor, mas é interessante ressaltar que um resultado adequado foi alcançado com $n = 45$.



(a) original

(b) $n = 7$

(c) $n = 15$



(c) $n = 45$

(d) $n = 135$

Figura 28 - Resultados obtidos para imagem *sonnet* usando o Método do Contraste.

Figura	Fração dos pixels pretos
b ($n = 7$)	0,26
c ($n = 15$)	0,26
d ($n = 45$)	0,27
e ($n = 135$)	0,43

Tabela 18 - Fração dos pixels pretos dos resultados para imagem *sonnet*.

Entretanto, para a imagem *sonnet*, obteve-se resultados não muito satisfatórios, mesmo para vizinhos maiores que lidaram melhor com os ruídos. Embora não tendo um resultado satisfatório, com $n = 45$, toda a informação do texto foi capturada, porém acompanhada de ruídos nos arredores.

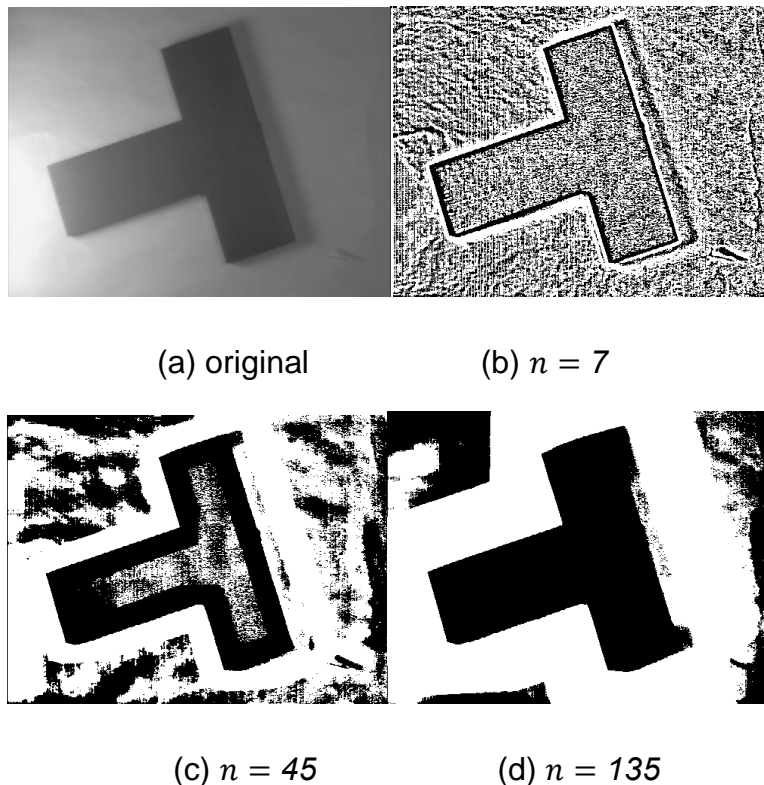


Figura 29 - Resultados obtidos para imagem *wedge* usando o Método do Contraste.

Figura	Fração dos pixels pretos
b ($n = 7$)	0,39
c ($n = 15$)	0,4
d ($n = 45$)	0,43
e ($n = 135$)	0,42

Tabela 19 - Fração dos pixels pretos dos resultados para imagem *wedge*.

Por fim, para a imagem *wedge*, tal método produziu um resultado razoável para $n = 135$, porém ainda considerando parte do ruído da luminosidade produzindo sombra. Para os demais valores de n , era possível identificar o “T” por sua borda, porém o objeto não era evidenciado.

3.7 Método da Média

O objetivo principal deste método era, para cada pixel (x, y) , considerar-se uma vizinhança $(n \times n)$ centrada em (x, y) , calculando o limiar como sendo a média entre os vizinhos. Para ter um centro adequado, adotou-se números ímpares para n . A Figura 30 mostra como realizou-se tal método:

```

img = cv.imread(f'input/{image_name}.pgm', cv.IMREAD_GRAYSCALE)
a = np.array(img)
a = a.astype(int)

n = neighbours # número de vizinhos

padding_dimens = n // 2
a_padded = np.pad(a, [(padding_dimens, padding_dimens), (padding_dimens, padding_dimens)], mode='reflect')

rows = len(a)
columns = len(a[0])
center = padding_dimens

mask_center = np.ones(n*n).reshape(n,n)
mask_center[center, center] = 0
mask_center = mask_center.astype(bool)

for i in range(rows):
    for j in range(columns):

        # i:i+n, j:j+n
        neighbour_matrix = a_padded[i:i+n, j:j+n]

        neighbour_matrix_center_masked = neighbour_matrix[mask_center]
        neighbour_mean = np.mean(neighbour_matrix_center_masked)

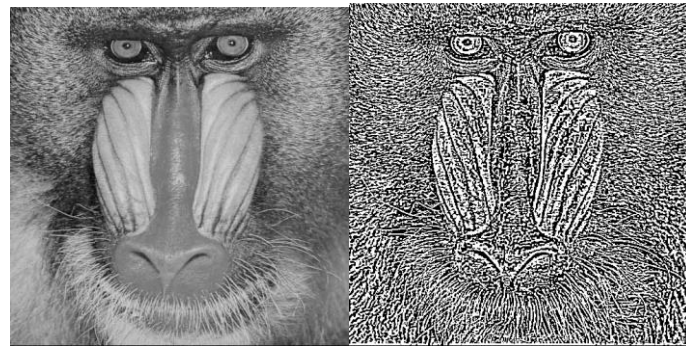
        T_limiar = neighbour_mean
        expression = a[i,j] < T_limiar if invert_background else a[i,j] > T_limiar

        # i, j
        a[i,j] = 255 if expression else 0

```

Figura 30 - Implementação do Método da Média

Para reproduzir tal método, foi necessário adicionar uma borda, escolhida como tipo *reflect* (*padding* - `numpy.pad`) para atender ao formato da matriz de vizinhos ($n \times n$) sendo o seu centro cada pixel da imagem. Além disso, criou-se uma máscara para não considerar o centro nos cálculos da média e desvio padrão. Em seguida, percorreu-se cada pixel, selecionando a matriz de vizinhança do pixel; para achar média (`numpy.mean`) sem considerar o centro, utilizou-se a máscara criada na matriz de vizinhança. Com tais valores, o limiar foi definido como a média calculada. Dadas as imagens citadas em “Materiais e Métodos”, optou-se por adotar que o que seria objeto o que fosse maior que o limiar T , para manter *invert_background=False* como padrão.



(a) original

(b) $n = 7$



(c) $n = 45$

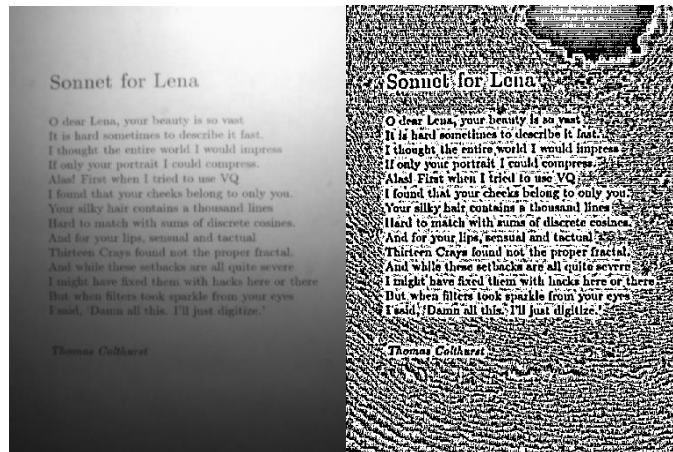
(d) $n = 135$

Figura 31 - Resultados obtidos para imagem *baboon* usando o Método da Média.

Figura	Fração dos pixels pretos
b ($n = 7$)	0,5
c ($n = 15$)	0,49
d ($n = 45$)	0,48
e ($n = 135$)	0,48

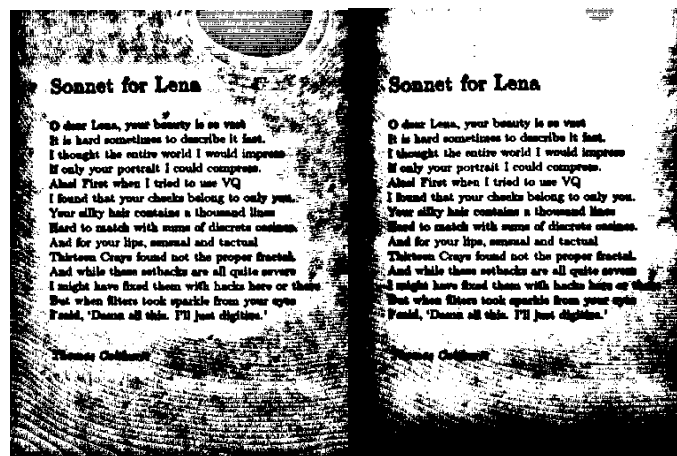
Tabela 20 - Fração dos pixels pretos dos resultados para imagem *baboon*.

Em relação aos resultados para a imagem *baboon*, percebe-se que para vizinhos maiores, obteve-se um resultado melhor, mas adotando $n = 45$ já é obtido um resultado satisfatório.



(a) original

(b) $n = 7$



(d) $n = 45$

(e) $n = 135$

Figura 32 - Resultados obtidos para imagem *sonnet* usando o Método da Média.

Figura	Fração dos pixels pretos
b ($n = 7$)	0,44
c ($n = 15$)	0,43
d ($n = 45$)	0,4
e ($n = 135$)	0,41

Tabela 21 - Fração dos pixels pretos dos resultados para imagem *sonnet*.

Novamente, para a imagem *sonnet*, obteve-se resultados não muito satisfatórios, mesmo para vizinhos maiores que lidaram melhor com os ruídos.

Embora não tendo um resultado adequado, com $n = 45$, toda a informação do texto foi capturada, porém acompanhada de ruídos nos arredores.

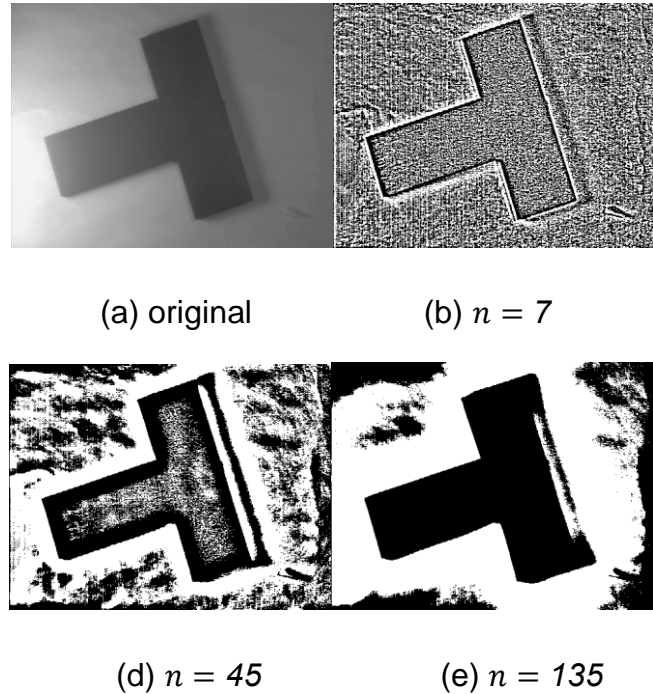


Figura 33 - Resultados obtidos para imagem *wedge* usando o Método da Média.

Figura	Fração dos pixels pretos
b ($n = 7$)	0,49
c ($n = 15$)	0,48
d ($n = 45$)	0,48
e ($n = 135$)	0,44

Tabela 22 - Fração dos pixels pretos dos resultados para imagem *wedge*.

E, para a imagem *wedge*, tal método produziu um resultado razoável para $n = 135$, porém ainda considerando parte do ruído da luminosidade. Para os demais valores de n , era possível identificar o "T" por sua borda porém o objeto não era evidenciado.

3.8 Método da Mediana

Por fim, esse método calcula o limiar como sendo a mediana entre os vizinhos, ou seja, para cada pixel (x, y) , considera-se uma vizinhança $(n \times n)$ centrada em (x, y) . Para ter um centro adequado, adotou-se números ímpares para n . A Figura 34 mostra como realizou-se tal método:

```
img = cv.imread(f'input/{image_name}.pgm', cv.IMREAD_GRAYSCALE)
a = np.array(img)
a = a.astype(int)

n = neighbours # número de vizinhos
padding_dimens = n // 2
a_padded = np.pad(a, [(padding_dimens, padding_dimens), (padding_dimens, padding_dimens)], mode='reflect')

rows = len(a)
columns = len(a[0])
center = padding_dimens

mask_center = np.ones(n*n).reshape(n,n)
mask_center[center, center] = 0
mask_center = mask_center.astype(bool)

for i in range(rows):
    for j in range(columns):
        # i:i+n, j:j+n
        neighbour_matrix = a_padded[i:i+n, j:j+n]

        neighbour_matrix_center_masked = neighbour_matrix[mask_center]
        neighbour_median = np.median(neighbour_matrix_center_masked)

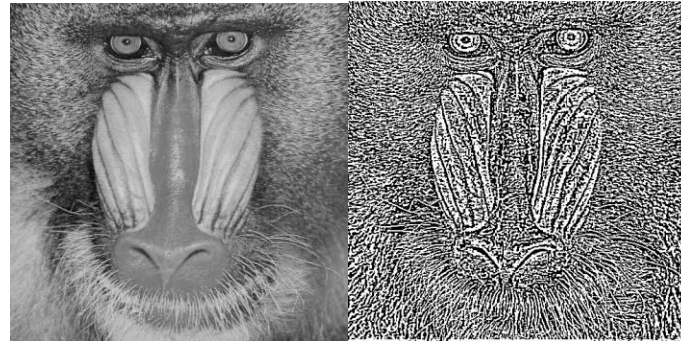
        T_limiar = neighbour_median
        expression = a[i,j] < T_limiar if invert_background else a[i,j] > T_limiar

        # i, j
        a[i,j] = 255 if expression else 0
```

Figura 34 - Implementação do Método da Mediana

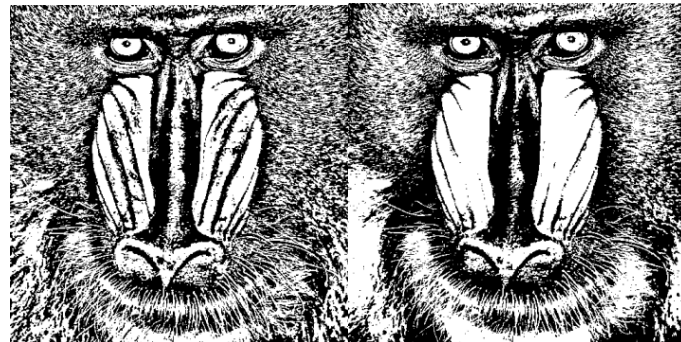
Para reproduzir tal método, foi necessário adicionar uma borda, escolhida como tipo *reflect* (*padding* - `numpy.pad`) para atender ao formato da matriz de vizinhos $(n \times n)$ sendo o seu centro cada pixel da imagem. Além disso, criou-se uma máscara para não considerar o centro nos cálculos da média e desvio padrão. Em seguida, percorreu-se cada pixel, selecionando a matriz de vizinhança do pixel; para achar mediana (`numpy.median`) sem considerar o centro, utilizou-se a máscara criada na matriz de vizinhança. Com tais valores, o limiar foi definido como a mediana calculada. Dadas as imagens citadas em

“Materiais e Métodos”, optou-se por adotar que o que seria objeto o que fosse maior que o limiar T , para manter *invert_background=False* como padrão.



(a) original

(b) $n = 7$



(d) $n = 45$

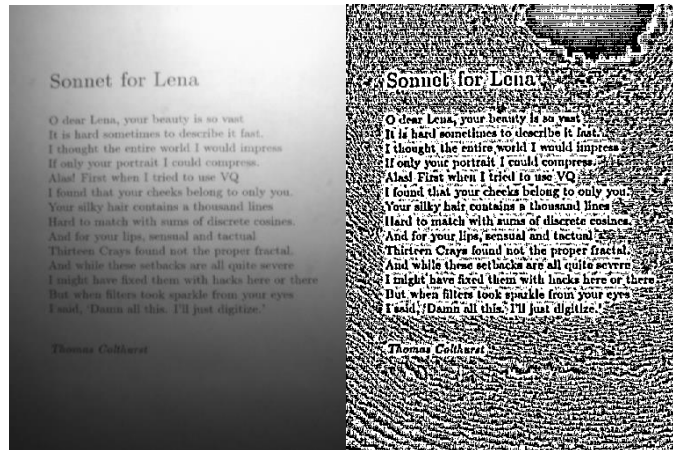
(e) $n = 135$

Figura 35 - Resultados obtidos para imagem *baboon* usando o Método da Mediana.

Figura	Fração dos pixels pretos
b ($n = 7$)	0,51
c ($n = 15$)	0,51
d ($n = 45$)	0,5
e ($n = 135$)	0,5

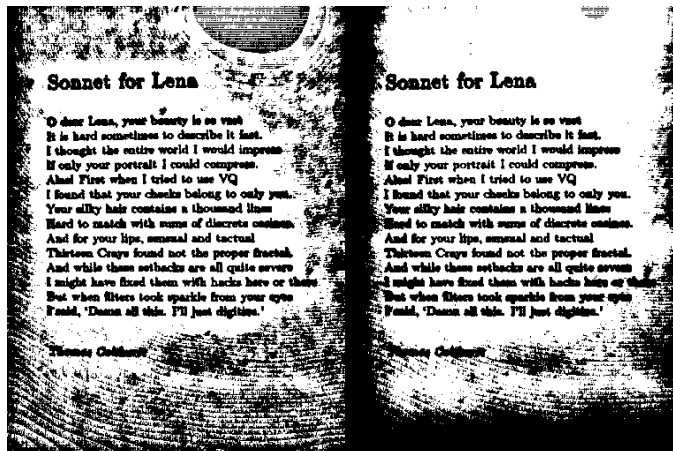
Tabela 23 - Fração dos pixels pretos dos resultados para imagem *baboon*.

Em relação aos resultados para a imagem *baboon*, percebe-se que para vizinhos maiores, obteve-se um resultado melhor, mas é interessante ressaltar que, visualmente, o melhor deles foi com $n = 45$, ou seja, não necessitando aumentar de veras a quantidade de vizinhos para atingir bons resultados.



(a) original

(b) $n = 7$



(d) $n = 45$

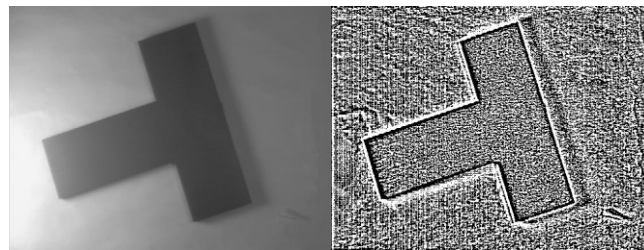
(e) $n = 135$

Figura 36 - Resultados obtidos para imagem *sonnet* usando o Método da Mediana.

Ainda, para a imagem *sonnet*, obteve-se resultados não muito satisfatórios, mesmo para vizinhos grandes como $n = 135$. Embora não tendo um resultado adequado, com $n = 45$, toda a informação do texto foi capturada, porém acompanhada de ruídos nos arredores, mas mais atenuados do que com $n = 135$.

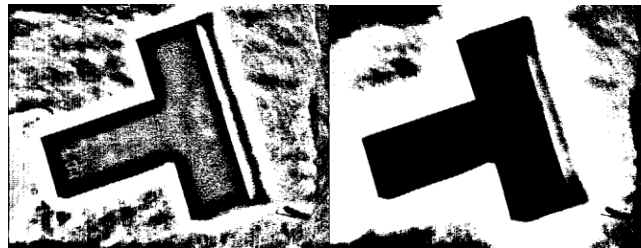
Figura	Fração dos pixels pretos
b ($n = 7$)	0,78
c ($n = 15$)	0,72
d ($n = 45$)	0,62
e ($n = 135$)	0,45

Tabela 24 - Fração dos pixels pretos dos resultados para imagem *sonnet*.



(a) original

(b) $n = 7$



(d) $n = 45$

(e) $n = 135$

Figura 37 - Resultados obtidos para imagem *wedge* usando o Método da Mediana.

Figura	Fração dos pixels pretos
b ($n = 7$)	0,69
c ($n = 15$)	0,68
d ($n = 45$)	0,62
e ($n = 135$)	0,5

Tabela 25 - Fração dos pixels pretos dos resultados para imagem *wedge*.

Por fim, para a imagem *wedge*, tal método produziu um resultado razoável para $n = 135$, porém ainda considerando parte do ruído. Para os demais valores de n , era possível identificar o “T” por sua borda, porém o objeto não era evidenciado.

4. Conclusão

Dessa forma, com a implementação dos métodos propostos, foi possível realizar tratamentos para obter melhores, ou resultados mais adequados que a versão original, a qual muitas vezes está sob a influência de um ruído por exemplo (como a sombra, excesso ou falta de luminosidade).

Em linhas gerais, a imagem *baboon* teve um resultado adequado em todos métodos, de acordo com os parâmetros apresentados nos resultados, porém a princípio era uma imagem sem ruídos trazidos na entrada.

Por outro lado, a imagem *sonnet* tinha informações como caracteres e pouca luminosidade, e mesmo alguns métodos não efetuando um tratamento eficaz, os de Sauvola/Pietaksinen e Phansalskar/More/Sabale exibiram bons resultados com um número de vizinhos baixo. Mesmo exigindo um processamento maior por ter que calcular a média, desvio padrão e operação exponencial (no último método citado), com número de vizinhos baixos não se porta como tão custoso.

Por fim, no caso da imagem *wedge*, havia o problema de sombra, de onde o foco de iluminação estava e por conta disso, em alguns métodos como o Global, teve grande influência no resultado, borrando parte da imagem com preto. Porém, em métodos que exigiam menos computacionalmente comparado aos posteriores como o de Bernsen, atingiu-se um resultado razoável, acompanhado de parte do ruído, mas sendo possível interpretar como um sólido no formato "T". Também nesse caso, os métodos de Sauvola/Pietaksinen e Phansalskar/More/Sabale conseguiram atenuar boa parte dos ruídos, porém ao custo de necessitar de uma vizinhança de 135x135, ainda tendo uma falta de pixels pretos na parte superior do "T".